

# تولید و ارزیابی پودر کامپوزیتی نانو ساختار $\text{Cr}_2\text{O}_3$ -Ag در فرایند پاشش پلاسمایی

احسان صدری<sup>\*</sup>، فخرالدین اشرفی زاده و مظاہر رمضانی

دانشکده مهندسی مواد، دانشگاه صنعتی اصفهان

(دریافت مقاله: ۱۳۹۱/۰۴/۸ - دریافت نسخه نهایی: ۱۳۹۱/۱۰/۲۷)

چکیده -

% )  $\text{Cr}_2\text{O}_3$ -Ag (

$\text{Cr}_2\text{O}_3$ -Ag

واژگان کلیدی :  $\text{Cr}_2\text{O}_3$ -Ag

## Production and characterization of $\text{Cr}_2\text{O}_3$ -Ag nanostructured composite powders in plasma spraying process

E. Sadri, F. Ashrafizadeh and M. Ramazani

Department of Materials Engineering, Isfahan University of Technology,

**Abstract:** In plasma sprayed nanostructured composite coatings with ceramic matrix, the feedstock must consist of nanoparticles of appropriate specifications. In this research, the procedure for production of  $\text{Cr}_2\text{O}_3$ -Ag agglomerated nanostructured composite powder to produce composite coatings has been investigated. Nanopowders of  $\text{Cr}_2\text{O}_3$  with 0, 2, 5, and 10 volume percentages of silver were dispersed to obtain a homogeneous aqueous dispersion appropriate for spray drying process. In the second stage,  $\text{Cr}_2\text{O}_3$ -Ag composite powders were produced by agglomeration process. The nanostructured composite powders were, then, used in the atmospheric plasma spray (APS) process to deposit a series of composite coatings for evaluation. The composite powders, with a granulated morphology, had uniform distribution of silver in a ceramic matrix and the coatings were composed of nanoparticles and particles of nano-sized crystallites. Experimental results indicated that presence of nanoparticle

\*: مسئول مکاتبات، پست الکترونیکی: ehsansadri1@yahoo.com

*zones within the microstructure led to non-uniform porosities formed between splats and these zones. Furthermore, use of nanopowders in the feedstock caused a reduction in lamellae thickness of plasma sprayed coatings.*

**Keywords:** *Cr<sub>2</sub>O<sub>3</sub>-Ag, Composite powder, Spray drying, Nanostructure, Plasma spraying.*

داشته باشد، باید از ماده روانکاری با قابلیت روانکاری در گستره وسیع دمایی در یک ساختار کامپوزیتی سخت استفاده کرد [۳ و ۴].

پوشش‌های کامپوزیتی پاشش حرارتی عموماً دارای فاز زمینه و تقویت‌کننده بوده که زمینه می‌تواند فلزی، آلیاژی (آلیاژ‌های نیکل) یا سرامیکی (آلومینا و زیرکونیا) باشد. تقویت‌کننده به سه شکل ویسکر (مانند SiC و Si<sub>3</sub>N<sub>4</sub>، الیاف (مانند W و B) و ذره (مانند SiC و TiC) به فاز زمینه اضافه شود. در هر سه نوع کامپوزیت مذکور، توزیع فاز تقویت‌کننده باید به صورت کاملاً یکنواخت باشد و در واقع میزان یکنواختی توزیع ذرات تقویت‌کننده در پوشش کامپوزیتی معیاری از کیفیت پوشش است. پوشش‌های کامپوزیتی پاشش حرارتی را تا به حال با سه روش اصلی تولید کرده‌اند.

- روش اول: مخلوط کردن پودر زمینه و تقویت‌کننده و پاشش حرارتی پودر مخلوطی<sup>۳</sup> بر زیرلايه (۱۹۸۷)،
- روش دوم: استفاده همزمان از دو سیستم پاشش حرارتی برای ذرات زمینه و تقویت‌کننده (۱۹۹۱)، و
- روش سوم: تولید پودر کامپوزیتی آگلومره شده به روش خشک کردن پاششی<sup>۴</sup> (۱۹۹۶). [۵]

در روش اول، پوشش کاملاً ناهمگن به دست می‌آید و این به علت مخلوط نشدن کامل ذرات زمینه و تقویت‌کننده با هم (متفاوت بودن مورفولوژی و وزن مخصوص آنها) و رفتار متفاوت ذرات زمینه و تقویت‌کننده در جریان پلاسمما (به علت متفاوت بودن خواص فیزیکی آنها) است. روش دوم به دلیل نیاز همزمان به دو سیستم پاشش حرارتی زیاد توسعه نیافته است. روش سوم (آگلومراسیون پودر کامپوزیتی) به دلیل همگنی نسبی ساختار و توزیع مناسب تقویت‌کننده در زمینه مورد استقبال محققان قرار گرفته است.

در مواد نانوساختار، خواص فیزیکی و مکانیکی با کاهش

## ۱- مقدمه

پوشش‌های سرامیکی اکسیدی سختی، مدول یانگ و نقطه ذوب بیشتر، چقرمگی محدودتر، هدایت حرارتی و ضربه انبساط حرارتی کمتری نسبت به فلزات دارند. از این رو در بیشتر کاربردها دارای مقاومت به سایش خراشان و سایش چسبان کمتر و بسته به ترکیب و خواصشان، مقاومت شیمیابی بالاتر، خواص ترمومکانیکی و اصطکاکی مطلوب‌تر هستند [۱]. اکسید کروم (Cr<sub>2</sub>O<sub>3</sub>) یکی از مهم‌ترین و پرمصرف‌ترین پوشش‌های سرامیکی اکسیدی است. مقاومت سایشی و سختی بسیار بالا، هدایت الکتریکی کم آن‌ها که منجر به کاهش نرخ خوردگی می‌شود، استحکام مکانیکی زیاد (در مقایسه با دیگر پوشش‌های سرامیکی)، مشخصات اپتیکی خوب، ضربه اصطکاکی کم (نسبت به دیگر سرامیک‌های اکسیدی)، پایداری شیمیابی عالی، خواص مغناطیسی مطلوب، استحکام چسبندگی<sup>۱</sup> مطلوب به زیرلايه های فلزی و مقاومت اکسیداسیون زیاد در دمای بالا از خصوصیات مهم پوشش‌های اکسیدکروم است. در کل می‌توان بیان کرد که عمدۀ کاربرد پوشش‌های Cr<sub>2</sub>O<sub>3</sub> در شرایطی است که مقاومت خوردگی به همراه مقاومت سایشی نیاز باشد [۱ و ۲].

از طرفی با توجه به نیاز روز افزون صنعت به بحث روانکاری در محیط‌های دما بالا و با توجه به اینکه روانکارهای جامد معمولی اکثرا در دمای‌های بالا ضربه اصطکاک پر نوسانی داشته و تحت تغییرات ساختاری و شیمیابی برگشت‌ناپذیری قرار می‌گیرند که منجر به کاهش روانکاری و تولید ذرات ساینده می‌شوند، نیاز به تحقیق در مورد پوشش‌های مقاوم به سایش خود روانکار (پوشش‌های تریپولوژیکی) با کارایی دما بالا احساس می‌شود. بنابراین برای تولید پوشش روانکاری که بتواند در گستره وسیعی از دما کارایی داشته باشد و همزمان مقاومت به سایش مطلوبی نیز

لین<sup>۷</sup> و همکاران پوشش‌های نانوساختار آلومینا-تیتانیا را با استفاده از نانوپودرهای آگلومره شده به روش پاشش پلاسمایی تولید کردند. آن‌ها بهبود خواص سایشی و کاهش سختی پوشش نانوساختار را نسبت به پوشش‌های معمولی مشاهده کردند [۱۱]. محققان دیگر بر سختی پوشش‌های نانوساختار و معمولی دیگر ترکیب‌ها تحقیق کرده و به این نتیجه رسیده‌اند که سختی آن‌ها تقریباً یکسان است ولی مقاومت سایشی متفاوتی دارند. این در حالی است که پوشش نانوساختار YSZ<sup>۸</sup> هم خواص سایشی و هم سختی بیشتری نسبت به پوشش میکروساختار نشان داده است [۱۲]. بنابراین می‌توان بیان کرد که بهبود خواص سایشی پوشش‌های نانوساختار صرفابه دلیل سختی بیشتر آن‌ها نیست بلکه بیشتر به دلیل بهبود تافنس این پوشش‌هاست، چون در بعضی مواد سختی بیشتر و در بعضی مواد سختی کمتری نسبت به پوشش‌های معمولی حاصل شده است [۸]. توجیهی که توسط آهن<sup>۹</sup> و همکاران در مورد بهتر بودن تافنس پوشش‌های نانوساختار ارائه شده، این است که در پوشش‌های نانوساختار، اسپلت<sup>۱۰</sup>‌ها دارای سیالیت بیشتری بوده بنابراین چسبندگی بین آن‌ها در پوشش‌های نانوساختار بیشتر و در نتیجه استحکام بین لایه‌ای<sup>۱۱</sup> آن‌ها نیز بیشتر است و تافنس بالاتری دارند [۹]. همچنین توزیع فازهای مختلف در پوشش‌های نانوساختار نسبت به پوشش‌های معمولی بهتر است. تفاوت‌های ذکر شده عمده دلایل بهتر بودن خواص مکانیکی و تریبولوژیکی پوشش‌های نانوساختار بوده که باعث انجام تحقیقاتی در این موارد شده است [۸].

با توجه به مطالب فوق، در این تحقیق اکسیدکروم به دلیل سختی زیاد، مقاومت به سایش خوب و پایداری حرارتی بالا به عنوان زمینه پوشش و نقره به عنوان فاز روانکار در زمینه پوشش استفاده شد. یکی از مهم‌ترین عوامل تاثیرگذار بر کیفیت نهایی پوشش‌های پاشش پلاسمایی خصوصیات پودر شامل مورفولوژی پودر، اندازه ذرات و چگالی آن است [۱۳ و ۱۴]. بدین منظور ابتدا در این مقاله نحوه تولید و

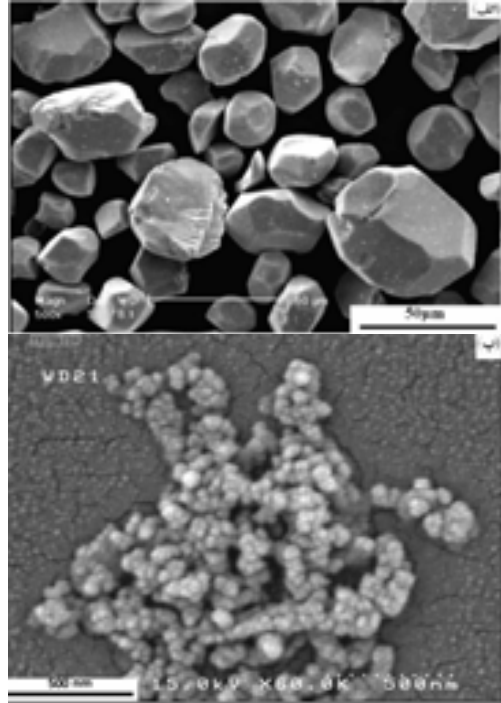
اندازه دانه به میزان قابل توجهی بهبود می‌یابد. برای مثال رابطه تجربی هال-پچ<sup>۱۵</sup>، قابلیت بهبود خواص مکانیکی مواد حین کاهش اندازه دانه را نشان می‌دهد [۶]. نانوساختار شدن مواد، عموماً موجب بهبود چقرمه‌گی، سختی و ضریب اصطکاک در محیط‌های متغیر (خشک و مرطوب) و عمر سایشی پوشش می‌شود [۷]. نانوساختار در پوشش‌های سرامیکی و کامپوزیتی زمینه اکسیدی که توسط پاشش حرارتی تولید می‌شوند، به صورت مناطقی حاوی ذرات نانومتری تحقق می‌یابد [۸ و ۹]؛ با کاهش اندازه ذرات، نسبت سطح به حجم ذرات افزایش قابل ملاحظه‌ای می‌یابد، امکان تبادل گرمای بهتر حین پاشش پلاسمایی فراهم شده و موجب افزایش احتمال ذوب شدن ذرات می‌شود. از آنجا که با ذوب شدن بیشتر احتمال حضور نانوذرات در پوشش کاهش می‌یابد، شرایط پاشش پلاسمایی پوشش‌های نانوساختار را باید تudemدا چنان تغییر داد که میزان ذرات نیمه ذوب و ذوب نشده در پوشش‌های نانوساختار بیشتر از پوشش‌های معمولی باشد [۸ و ۱۰] تا بدین طریق ذرات نیمه مذابی که حین پاشش حرارتی کاملاً منجمد نشده‌اند، به صورت نانوذرات در پوشش باقی بمانند.

چوا<sup>۱۶</sup> و همکاران برای کاهش عیوب ریزساختاری پوشش‌های نانوساختار پاشش پلاسمایی اکسید تیتانیم، که ناشی از توان کمتر پلاسما در پوشش‌های نانوساختار نسبت به پوشش‌های معمولی است، از ذرات میکرونی آلومینیوم در بین نانوذرات TiO<sub>2</sub> استفاده کردند. ذرات آلومینیوم به علت نقطه ذوب کم، حین پاشش حرارتی به مرز اسپلت‌ها نفوذ کرده و درون ذرات نیمه‌ذوب یا ذوب‌نشده چسبندگی ایجاد می‌کنند و باعث کاهش تخلخل و بهبود خواص مکانیکی پوشش نانوساختار می‌شوند. شایان توجه است که پوشش‌های نانوساختار کامپوزیتی TiO<sub>2</sub>-Al<sub>x</sub> اگرچه تخلخل کمتر و سختی بیشتری نسبت به پوشش‌های نانوساختار TiO<sub>2</sub> دارند، ولی به علت استفاده از توان کمتر پلاسما، تخلخل بیشتر و سختی کمتری نسبت به پوشش‌های معمولی TiO<sub>2</sub> دارند [۱۰].

آسیاب کاری مکانیکی شد. سپس مخلوط آبی همگن مخصوص فرایند خشک کردن پاششی، تشکیل شده از نانوذرات  $\text{Cr}_2\text{O}_3$  و نقره به همراه اضافه شونده های دیگر مثل چسب پلی ونیل الکل<sup>۱۳</sup> و توزیع کننده پیروفسفات سدیم با ترکیب جدول (۱) به مدت ۴۰ ساعت در آسیاب افقی با گولله های زیرکونیا بی تولید شد. در ادامه مخلوط آبی در دستگاه خشک کن پاششی به پودر آگلومره کامپوزیتی متتشکل از نانوذرات با ترکیب های متفاوتی از نقره (۵، ۲، ۰٪ و ۱۰٪ حجمی) تبدیل شد. دستگاه خشک کردن پاششی با هوای گرددی دمای  $180^\circ\text{C}$  و نرخ تغذیه  $50\text{ L/min}$  دمای محفظه خشک کن  $170^\circ\text{C}$  و اتمایزر دیسکی گریز از مرکز<sup>۱۴</sup> با سرعت چرخش  $10000\text{ rpm}$  و  $17000\text{ rpm}$  برای تولید پودر آگلومره تنظیم شد. در نهایت ۵ نوع پودر شامل پودرهای اکسید کروم خالص اولیه ( $\text{M-Cr}_2\text{O}_3$ )، اکسید کروم نانوساختار آگلومره ( $\text{N-Cr}_2\text{O}_3$ ) و پودرهای کامپوزیتی نانوساختار  $\text{Cr}_2\text{O}_3\text{-Ag}$  (۵٪ و ۱۰٪ حجمی) با شرایط جدول (۲) بر زیر لایه های فولاد ساده کربنی 1040 AISI پاشش پلاسمایی شدند. شرایط پاشش پلاسمایی به گونه ای تنظیم شد که برای پودرهای نانوساختار، دمای شعله پلاسما کمتر از پودر معمولی باشد (به جریان الکتریکی و فشار گاز هیدروژن در شعله پلاسما در جدول (۲) توجه شود). شایان ذکر است که برای همه پوشش ها از پوشش آستری<sup>۱۵</sup> NiAl، برای کاهش عدم تطابق ضرایب ان susceptance گرمایی پوشش و زیر لایه و افزایش استحکام چسبندگی پوشش به زیر لایه، به ضخامت  $50\text{ }\mu\text{m}$  استفاده شد. سرانجام ارزیابی پودرها و پوشش ها با تحلیل توزیع ابعادی لیزری<sup>۱۶</sup> (DLS)، میکروسکوپ الکترونی روبشی<sup>۱۷</sup> (SEM)، تحلیل طیف نگار تفکیک انرژی<sup>۱۸</sup> (EDS) و پراش پرتو ایکس<sup>۱۹</sup> (XRD) انجام شد. اندازه کریستالیت و کرنش شبکه نانوذرات نیز با استفاده از روش ویلیامسون-هال<sup>۲۰</sup> اندازه گیری شد.

$$\beta \cos \theta = \frac{0.9\lambda}{D} + 2\varepsilon \sin \theta \quad (1)$$

در این رابطه  $\beta$  میزان پهن شدگی پیک است که اگر داده های



شکل ۱- (الف) مورفولوژی پودر اولیه اکسید کروم و

(ب) مورفولوژی نانوذرات نقره.

خواص پودر کامپوزیتی  $\text{Cr}_2\text{O}_3\text{-Ag}$  متتشکل از نانوذرات و اثر آن بر تخلخل و ریزساختار پوشش کامپوزیتی نانوساختار  $\text{Cr}_2\text{O}_3\text{-Ag}$  مورد ارزیابی قرار می گیرد.

## ۲- مواد و روش تحقیق

در این پژوهش از پودر  $\text{Cr}_2\text{O}_3$  مخصوص پاشش حرارتی تولید شده به روش تفجوشی و خرد کردن<sup>۱۲</sup> با اندازه ذرات  $10\text{ }\mu\text{m}$  تا  $30\text{ }\mu\text{m}$  با نام تجاری Sulzer Metco 6156 و نانوپودر نقره تولید شده به روش تابش لیزر با اندازه متوسط ذرات  $80\text{ nm}$  ساخت کشور چین به منظور تولید پودر کامپوزیتی نانوساختار آگلومره مخصوص پاشش حرارتی استفاده شد. شکل (۱) مورفولوژی پودر اولیه  $\text{Cr}_2\text{O}_3$  و نانوپودر نقره را نشان می دهد. ابتدا به منظور تولید نانوپودر اکسید کروم، پودر اولیه به وسیله آسیاب گولله ای سایشی تا  $30\text{ }$  ساعت

جدول ۱- ترکیب بهینه مخلوط همگن مناسب برای خشک کن پاششی

گلوله‌ی زیرکوینیابی	پلی‌ونیل الکل (%wt)	پیروفسفات سدیم (%wt)	آب دیونیزه (%wt)	Ag (%wt)	Cr <sub>2</sub> O <sub>3</sub> (%wt)	ترکیب اسمی پودر
۷ برابر وزن پودر	۰/۴۳	۰/۱۷	۸۶/۴	۰	۱۳	Cr <sub>2</sub> O <sub>3</sub> خالص
۷ برابر وزن پودر	۰/۴۳	۰/۱۷	۸۶/۴	۰/۵۲	۱۲/۴۸	Cr <sub>2</sub> O <sub>3</sub> -2%vol Ag
۷ برابر وزن پودر	۰/۴۳	۰/۱۷	۸۶/۴	۱/۲۴۸	۱۱/۷۵۲	Cr <sub>2</sub> O <sub>3</sub> -5%vol Ag
۷ برابر وزن پودر	۰/۴۳	۰/۱۷	۸۶/۴	۲/۳۸۴	۱۰/۶۱۶	Cr <sub>2</sub> O <sub>3</sub> -10%vol Ag

جدول ۲- شرایط و پارامترهای پوشش‌دهی به روش پاشش پلاسمایی

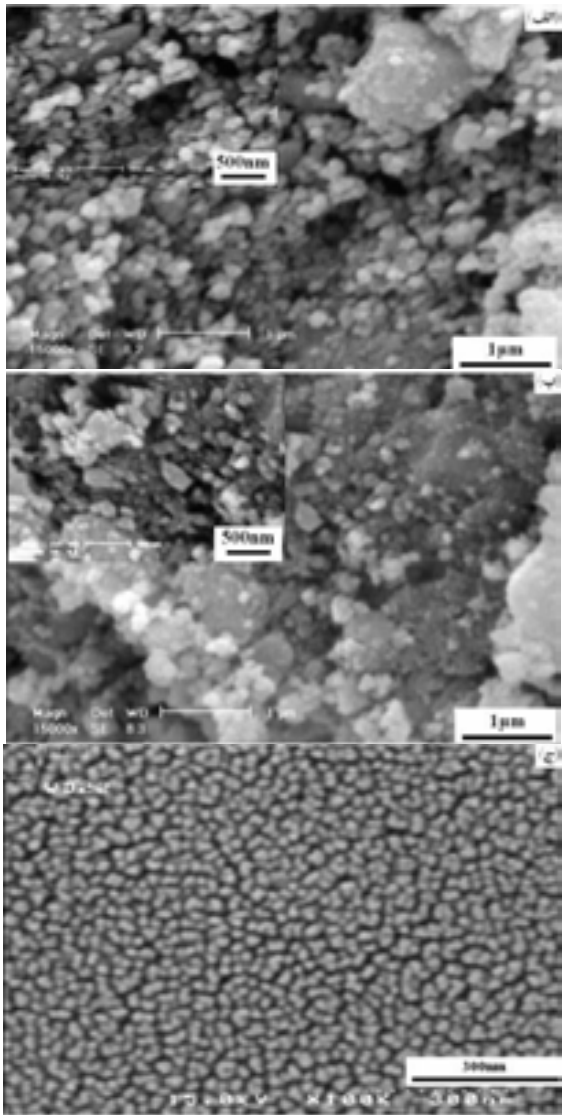
تعداد پاس	فاصله تفنگ تا زیرلایه(cm)	گاز حمل کننده پودر(g/min)	نرخ تغذیه پودر(g/min)	جریان (A)	شعله پلاسما		نوع پوشش
					گاز هیدروژن(lit/min)	گاز آرگون(lit/min)	
۲	۱۲	۲/۵	۲۰	۴۲۰	۱۲	۴۵	پوشش آستری(NiAl)
۸	۱۲	۳	۲۰	۴۵۰	۱۴	۵۰	معمولی Cr <sub>2</sub> O <sub>3</sub>
۱۰	۸	۳	۲۰	۴۰۰	۸	۵۰	نانوساختار Cr <sub>2</sub> O <sub>3</sub>
۶	۸	۳	۲۰	۴۰۰	۸	۵۰	Cr <sub>2</sub> O <sub>3</sub> -2%vol Ag نانوساختار
۶	۸	۳	۲۰	۴۰۰	۸	۵۰	Cr <sub>2</sub> O <sub>3</sub> -5%vol Ag نانوساختار
۶	۸	۳	۲۰	۴۰۰	۸	۵۰	Cr <sub>2</sub> O <sub>3</sub> -10%vol Ag نانوساختار

این منظور استفاده شد و برای حذف خطای دستگاهی، پهنه‌ی پیک سیلیسیم خالص از پهنه‌ی پیک فاز مورد نظر کم شد.

### ۳- یافته‌ها و بحث

۳-۱- تولید پودر کامپوزیتی آگلومره شکل (۲) تصاویر میکروسکوپ الکترونی پودر را بعد از

مربوط به  $\beta \cos \theta$  بر حسب  $\sin \theta$  برای چندین پیک رسم شود و خط راستی از این نقاط عبور داده شود از شیب خط می‌توان کرنش ( $\epsilon$ ) و از عرض از مبدأ خط می‌توان اندازه دانه (D) را تعیین کرد. قابل ذکر است که با برازش منحنی پیک به تابع گوسین<sup>۱۱</sup> چهارمتغیره می‌توان مقدار دقیق  $\beta$  را بدست آورد. در این پژوهش از نرم‌افزار سیگماپلات<sup>۱۲</sup> به



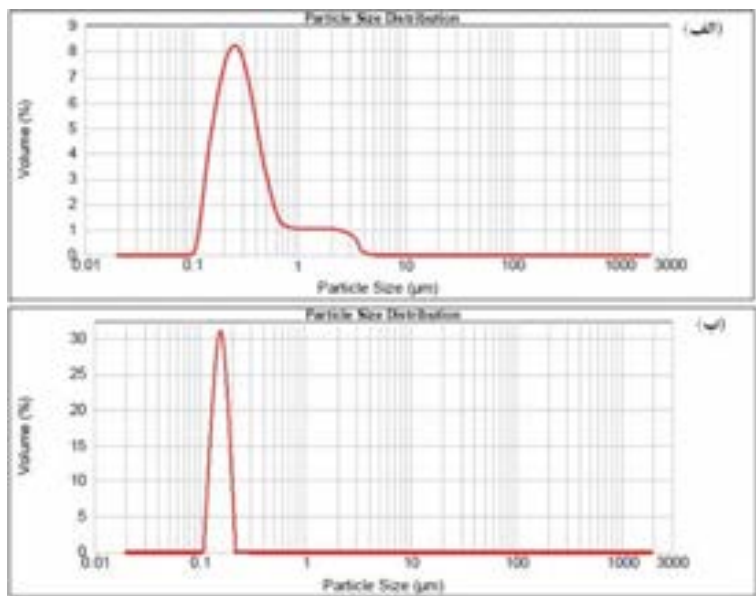
شکل ۲- تصاویر میکروسکوپ الکترونی پودر اکسیدکروم بعد از (الف) ۲۰، (ب) ۲۵ و (ج) ۳۰ ساعت آسیاب کاری.

کامپوزیتی آگلومره میکرونی متشكل از نانوذراتی با ترکیب ۰، ۲، ۵ و ۱۰٪ حجمی نقره تبدیل شدند. فرایند خشک کردن پاششی فرایندی است که در آن ماده تغذیه مایع توسط پاشش به محفظه گرم به پودر خشک تبدیل می شود. اگرچه مکانیزم فرایند خشک کردن پاششی پیچیده است ولی می توان آن را برای پودرهای سرامیکی به چهار مرحله تشکیل قطره، تبخیر و

آسیاب کاری مکانیکی دو فرایند اصلی خرد شدن و جوش سرد ذرات، عوامل اصلی در تغییر اندازه ذرات هین آسیاب کاری هستند و با توجه به ماهیت ترد سرامیک های اکسیدی، جوش سرد در آنها ناچیز بوده بنابراین در هین آسیاب کاری به طور مداوم خرد می شوند، اما در اندازه های خیلی کوچک شبیه به فلزات نرم رفتار کرده و امکان ریزتر شدن آنها وجود ندارد [۱۵]. همان طور که در تصویر (الف) دیده می شود بعد از ۲۰ ساعت آسیاب کاری، نانوذرات (ذرات با اندازه ۱۰۰ nm و کوچکتر) تولید شده اند ولی ذرات با اندازه میکرونی نیز وجود دارند. شکل (۳) نیز تحلیل توزیع ابعادی لیزری پودر اکسیدکروم را بعد از ۲۵ و ۳۰ ساعت آسیاب کاری مکانیکی نشان می دهد. پس از ۲۵ ساعت آسیاب کاری مقدار قابل توجهی از ذرات، اندازه بزرگتر از ۳۰۰ نانومتر دارند شکل (۳-الف) در حالی که پس از ۳۰ ساعت آسیاب کاری توزیع یکنواخت ذرات در محلوده ۵۰ تا ۱۳۰ نانومتر مشاهده می شود شکل (۳-ب). ذرات اکسیدکروم هین آسیاب کاری تغییر شکل پلاستیکی محسوسی نداشته و فقط به صورت متواالی خرد می شوند. مورفولوژی تقریباً کروی نانوذرات نشان دهنده مکانیزمی است که در اکثر مواد سرامیکی رخ می دهد.

نانوذرات را به دلایلی از قبیل ماهیت ریز آنها، فقدان مومنتوم لازم برای شتاب گرفتن در جریان پلاسمما، نرخ سیلان کم، تمایل به آگلومره شدن شدید هین پاشش، جرم کم، نیاز به جریان زیاد گاز برای پاشش (که منجر به ناپایداری شعله می شود)، نرخ رسوب ناکارامد به زیرلایه (به دلیل تمایل کم ساکن شدن نانوذرات) و چسبندگی زیاد به دیواره تغذیه کننده تفنگ پاشش نمی توان به صورت مستقیم پاشش پلاسمایی کرد. از این رو باید نانوذرات را به ذرات میکرونی تشکیل شده از نانوذرات تبدیل کرد.

در این پژوهش به روش آگلومراسیون و استفاده از روش خشک کردن پاششی، نانوذرات اکسیدکروم-نقره به پودر



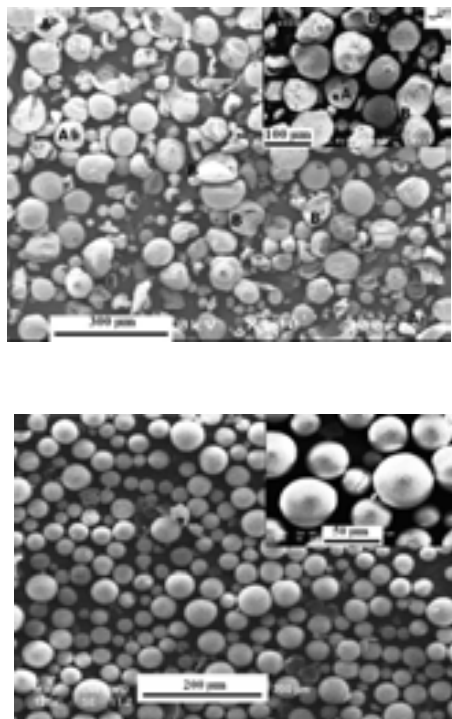
شکل ۳- تحلیل توزیع ابعادی لیزدی پودر اکسید کروم بعد از (الف) ۲۵ و (ب) ۳۰ ساعت آسیاب کاری مکانیکی.



شکل ۴- مراحل تشکیل پودر آگلومره سرامیکی در فرایند خشک کردن پاششی [۱۲].

مناسب نیست (به جز پوشش‌های پرتخلخل مثل TBC<sup>۳۳</sup>، منابراین باید شرایط خشک کردن پاششی را طوری تنظیم کرد که نرخ تبخیر حلال بیشتر از نرخ نفوذ حلال به غشاء ذره نباشد. در مرحله چهارم (تشکیل ذره) ذره با از دست دادن حلال و اضافه شدن چسب آلی، شکل می‌گیرد و مدام بر اثرکشش سطحی منقبض شده تا اینکه کاملاً خشک شود. اثر پارامترهای کاری بر مشخصات پودر نهایی را می‌توان ۳ عامل دمای کاری، نرخ تغذیه و فشار تغذیه مخلوط دانست [۱۳، ۱۶ و ۱۷].

بالونی شدن قطره، انفجار و تشکیل ذره تقسیم‌بندی کرد. شکل (۴) مراحل تشکیل پودر آگلومره شده را در فرایند خشک کردن پاششی نشان می‌دهد [۱۳]. مخلوط همگن پایدار در محفظه خشک کن توسط گاز گرم، سریعاً به قطرات ریز تبدیل می‌شود. در ادامه قطره به دلیل تبخیر سریع حلال منقبض شده و مایع از مرکز به بیرون قطره حرکت کرده ذرات جامد را نیز با خود به غشاء بیرونی قطره می‌آورد. اگر نرخ تبخیر مرکز قطره بیشتر از نرخ نفوذ مایع به سطح قطره باشد، منفذی در مرکز قطره به وجود می‌آید که برای اکثر پوشش‌ها

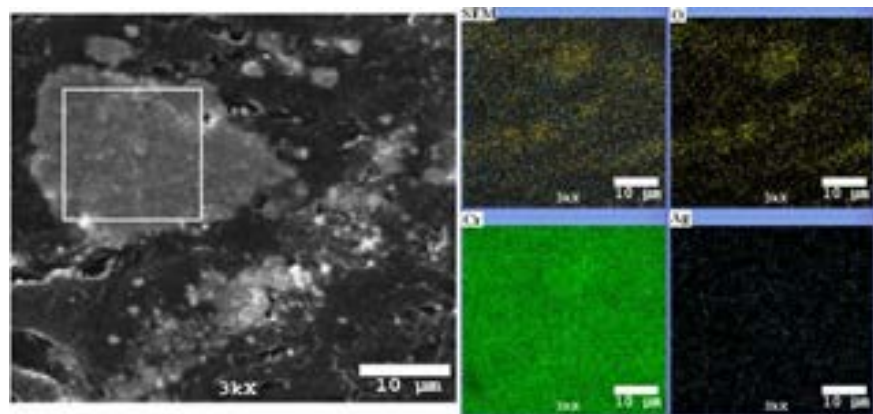


شکل ۵- تصویر پودر آگلومره نانوساختار اکسیدکروم با سرعت چرخش اتمایزر (الف) ۱۰۰۰۰ و (ب) ۱۷۰۰۰ rpm حین فرایند خشک کردن پاششی.

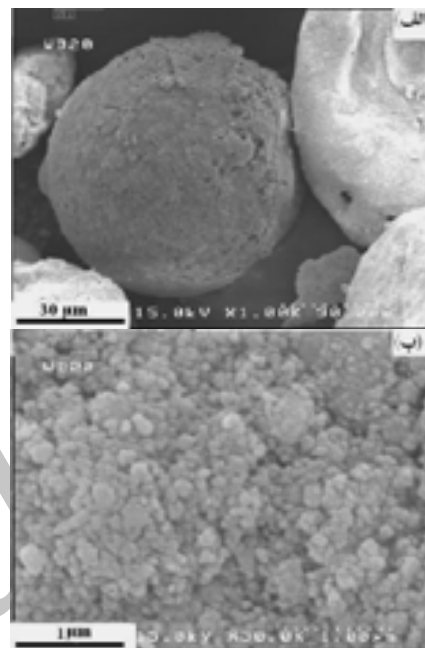
مخلوط، نرخ هوای ورودی و دمای محفظه و تغییر سرعت چرخش اتمایزر، شرایط به گونه‌ای تنظیم شد که نرخ نفوذ حلال به غشاء بیرونی ذره از نرخ تبخیر حلال بیشتر باشد. پودر تصویر (۵-الف) (سرعت چرخش اتمایزر rpm ۱۰۰۰۰) مورفولوژی کاملاً کروی ندارد (مانند (B)) و منفذ‌های نسبتاً بزرگی (مانند A) در میان ذرات دیده می‌شود. دلیل این اتفاق می‌تواند تنظیم نبودن سرعت اتمیزه شدن ذرات (سرعت چرخش اتمایزر) نسبت به دمای محفظه باشد. اگر حین تشکیل ذره، نرخ تبخیر حلال بیشتر از نرخ نفوذ حلال به غشاء بیرونی ذره باشد، منفذ‌های چند میکرونی در وسط پودر به وجود می‌آورد [۱۳ و ۱۶] که اگر این منفذ از وسط پودر، غشاء بیرونی ذره را بشکافد ذراتی مانند A به وجود می‌آید و اگر نتواند غشاء بیرونی ذره را بشکافد پودرهای ترخالی به وجود آورده که حین تماس با گاز گرم، تغییر شکل

دمای خشک کردن اثر چند گانه دارد. اثر اول اینکه با افزایش دمای خشک کردن، بالونی شدن قطره بیشتر شده منجر به افزایش اندازه ذره نهایی می‌شود. اثر دوم، با افزایش دما کشش سطحی قطره زیاد شده باعث افزایش اندازه ذره می‌شود. در اثر سوم دوره زمانی خشک کردن با افزایش دما کم شده، پوسته‌ی تشکیل شده در مرحله چهارم سریع‌تر تشکیل شده، منجر به کاهش اندازه ذره می‌شود. با افزایش نرخ تغذیه، چگالی پودر و اندازه‌ی نهایی پودر افزایش یافته و با کاهش فشار تغذیه، چگالی و اندازه‌ی نهایی پودر کاهش می‌یابد. شایان ذکر است اثر نرخ تغذیه بر مشخصات پودر نهایی از دو عامل دیگر بیشتر است [۱۳ و ۱۶].

شکل (۵) تصویر پودر آگلومره نانوساختار اکسیدکروم با سرعت‌های چرخش اتمایزر ۱۰۰۰۰ و ۱۷۰۰۰ rpm را نشان می‌دهد. در این پژوهش با ثابت نگهداشت نرخ تزریق



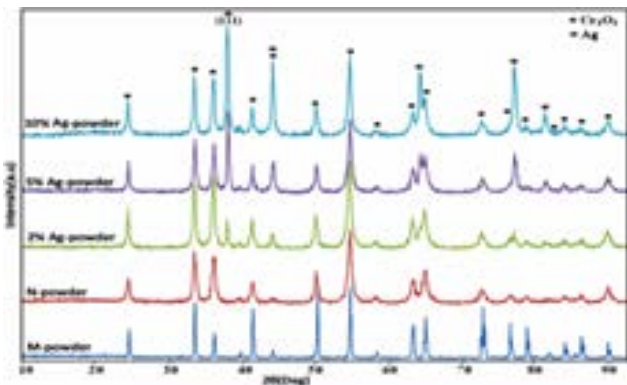
شکل ۶- تصویر و تحلیل نقشه پرتو ایکس عناصر موجود در پودر کامپوزیتی مانند شده ۵٪ نقره.



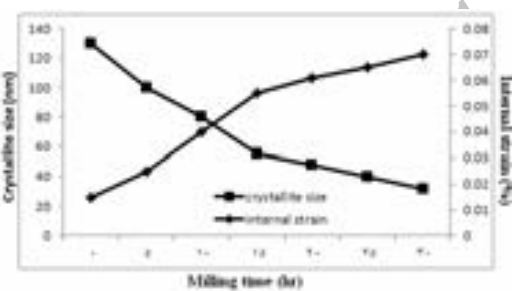
شکل ۷- تصویر میکروسکوپ الکترونی گسیل میدانی (FESEM) از پودر کامپوزیتی نانوساختار  $\text{Cr}_2\text{O}_3$ -2%vol Ag در دو بزرگنمایی.

داده و مورفولوژی کروی خود را از دست می‌دهد (پودر B). با افزایش سرعت چرخش اتمایزر (سرعت اتمیزه شدن ذرات) و ثابت نگهداشتن دمای گاز، نرخ نفوذ حلال به غشاء بیرونی ذره با ثابت نگهداشتن سرعت تبخیر حلال، افزایش می‌یابد. بنابراین در پودر اگلomerه شده با سرعت چرخش اتمایزر

۱۷۰۰۰ rpm (تصویر (۵-ب)) علاوه بر کروی شدن کامل ذرات و رفع منفذ میکرونی وسط ذرات و کمتر بودن درصد تخلخل در پودر، اندازه‌ی پودر نهایی (با حداکثر اندازه) نیز نسبتاً کوچکتر می‌شود و این امر باعث کاهش نرخ توزیع ابعادی پودر نهایی می‌شود. عوامل فوق موجب بهتر شدن سیالیت



شکل ۸- الگوی پراش پودرهای اولیه و نانوساختار اکسیدکروم خالص و پودرهای کامپوزیتی نانوساختار ۲، ۵ و ۱۰٪ نقره



شکل ۹- کاهش اندازه کریستالیت‌ها و تجمع میکروکرنش‌ها حین آسیاب‌کاری مکانیکی در اکسیدکروم.

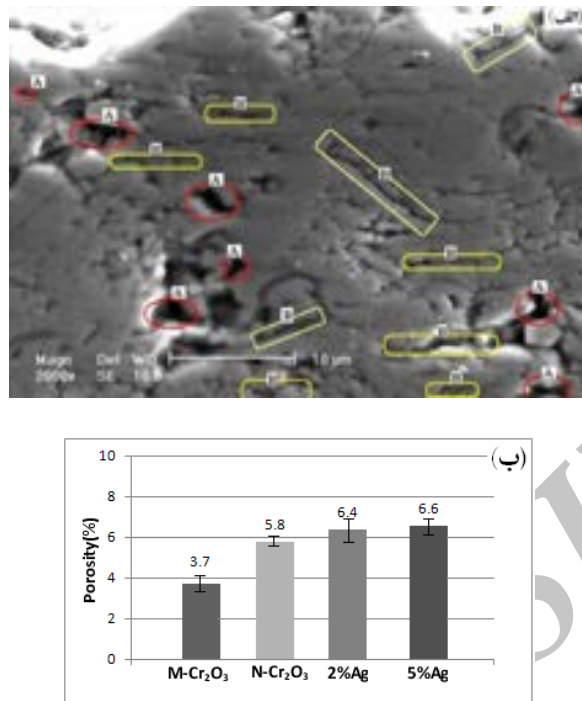
میکروسکوپ الکترونی گسیل میدانی  $\text{Cr}_2\text{O}_3$ -Ag ۲٪ vol پودر نانوساختار  $\text{Cr}_2\text{O}_3$ -Ag ۲٪ vol را در دو بزرگنمایی نشان می‌دهد. تصویر (۷-ب) بزرگنمایی بالانسی از درون پودر میکرومتری را نشان می‌دهد که وجود ذرات نانومتری و فصل مشترک‌های بین آن‌ها تاییدی بر نانوساختار بودن پودر میکرونی تولید شده است.

شکل (۸) الگوی پراش پودرهای اولیه و نانوساختار اکسیدکروم خالص و پودرهای کامپوزیتی نانوساختار ۲، ۵ و ۱۰٪ نقره را نشان می‌دهد. در مورد پودرهای M و N پیک‌های تکفار اکسیدکروم با ساختار رومبودارال مشاهده می‌شود که با انجام آسیاب‌کاری به مدت ۳۰ ساعت نداده و فقط بهنای پیک‌ها بیشتر و شدت آن‌ها کمتر شده

پودر شده از این رو گیرکردن پودر در تغذیه‌کننده‌ی تفنگ پاشش حرارتی را کاهش می‌دهد. در نتیجه نایکنواختی در نرخ تغذیه پودر و نایکنواختی در ضخامت پوشش کاهش می‌یابد. کروی بودن پودر موجب کاهش تخلخل پوشش نیز می‌شود [۱۴ و ۱۵].

### ۲-۳- ارزیابی پودر کامپوزیتی آگلومره

شکل (۶) تحلیل نقشه پرتو ایکس عناصر موجود در پودر کامپوزیتی مانت شده ۵٪ نقره را نشان می‌دهد که توزیع یکنواخت نانوذرات نقره در پودر کامپوزیتی را تایید می‌کند. با توجه به دو برابر بودن تقریبی چگالی نقره نسبت به اکسیدکروم، نقره در محلوط آبی و یا در فرایند خشک‌کردن پاششی تمايل شدید به تهشین شدن دارد که در درصدهای بالاتر، این پدیده تشدید می‌شود. شکل (۷) تصاویر



شکل ۱۰- (الف) انواع تخلخل های موجود در پوشش N-Cr<sub>2</sub>O<sub>3</sub> (ب) درصد تخلخل پوشش های مورد ارزیابی در این پژوهش.

این موضوع به دلیل وجود حجم زیادی از نابهجهای ها حین آسیاب کاری مکانیکی فلزات و متفاوت بودن مکانیزم تغییر شکل سرامیکها و فلزات حین آسیاب کاری مکانیکی است. به هر حال محققان هنوز مکانیزم دقیقی برای کاهش اندازه کریستالیت و افزایش کرنش شبکه می مواد سرامیکی سخت در آسیاب کاری مکانیکی ارائه نداده اند، ولی دریافت ها ند که کاهش اندازه کریستالیت تا زمانی رخ می دهد که جوانه زنی و رشد عیوب، درون کریستالیت امکان پذیر باشد [۱۸].

شایان ذکر است که اندازه دانه و کرنش شبکه نانوپودر نقره خریداری شده نیز با استفاده از روش ویلیامسون-هال اندازه گیری شد؛ اندازه دانه تقریبی ۶۵ نانومتر و کرنش شبکه ۱۸٪ بود. می توان اظهار داشت علی رغم آنکه نانوپودر نقره با روش تابش لیزر، که انرژی کمتری نسبت به آلیاژ سازی مکانیکی دارد، تولید شده ولی دارای کرنش شبکه بیشتری

است. این پدیده (پهن شدن و کاهش شدت پیکها) به دلیل کاهش اندازه کریستالیت ها و تجمع میکروکرنش ها در ساختار سرامیکی اکسید کروم است. با استفاده از روش ویلیامسون-هال می توان اندازه کریستالیت ها و کرنش شبکه نانوذرات اکسید کروم را بعد از آسیاب کاری محاسبه کرد. شکل (۹) تغییرات اندازه کریستالیت و کرنش داخلی شبکه فاز Cr<sub>2</sub>O<sub>3</sub> را نسبت به زمان آسیاب کاری مکانیکی نشان می دهد. مشاهده می شود که نرخ کاهش اندازه کریستالیت و افزایش کرنش شبکه با افزایش زمان آسیاب کاری کاهش می یابد. همچنین با مقایسه شکل (۸) با نمودارهای تغییر اندازه دانه و کرنش شبکه مواد فلزی حین آسیاب کاری مکانیکی می توان دریافت که نرخ کاهش اندازه کریستالیت ها در اکسید کروم نسبت به اکثر فلزات بیشتر بوده و تجمع میکروکرنش ها در اکسید کروم (و به طور کلی در مواد سرامیکی ترد) کمتر از فلزات است.

کامل یک اسپلت روی اسپلت قبلی به وجود می‌آیند. این حفرات در اکثر پوشش‌های پاشش پلاسمایی دیده می‌شوند و در این تحقیق برای پوشش‌های میکروساختار و نانوساختار مقدار تقریباً یکسانی دارند. هر دو نوع تخلخل در پوشش‌های میکروساختار و نانوساختار (اعم از کامپوزیتی و خالص) مشاهده شد ولی تخلخل‌های نوع A در پوشش‌های نانوساختار دارای مقدار بیشتر و توزیع یکنواخت‌تری نسبت به پوشش معمولی بود. درصد تخلخل پوشش‌های کامپوزیتی نانوساختار با پوشش  $N\text{-Cr}_2\text{O}_3$  تقریباً برابر است.

همه‌ی پوشش‌های پاشش حرارتی دارای ناهمگنی ساختاری نسبی‌اند. دلیل عدمه ناهمگنی ساختار، توزیع نایکنواخت ذرات پودر در شعله پلاسماست که به علت یکسان نبودن مورفولوژی پودرهای متفاوت بودن خواص ترموفیزیکی مواد مختلف در پودر کامپوزیتی، اندازه مختلف پودرهای یکسان نبودن دما و سرعت ذرات در مسیر شعاعی جريان پلاسما و تغذیه نایکنواخت پودر توسط تعذیه‌کننده<sup>۲۵</sup> است. بنابراین ذرات حين برخورد به زیرلایه دارای سرعت و دمای متفاوتی بوده و به سه حالت ذوب کامل، نیمه ذوب یا جامد به سطح زیرلایه برخورد می‌کنند.

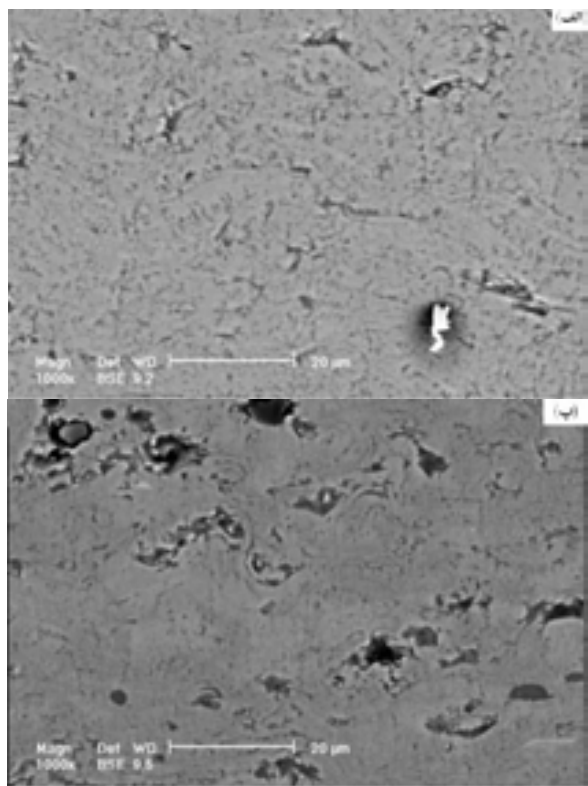
ایجاد فضاهای خالی بین اجزای پوشش در پاشش حرارتی حين قرار گرفتن ذرات روی هم، سبب ایجاد تخلخل در پوشش می‌شود. ریزساختار پوشش پاشش حرارتی بسیار پیچیده بوده و دارای نواقصی از جمله منافذ کروی، منافذ بین لایه‌ای و ترک‌های است. در واقع تخلخل یکی از مهم‌ترین مشخصه‌های رایج پوشش‌های پاشش حرارتی است که موجب تغییر خواص مکانیکی (مثل مدول الاستیستیته، تافتی شکست و سختی) و فیزیکی (شامل هدایت حرارتی، نفوذ حرارتی و مقاومت در برابر شوک حرارتی) پوشش‌ها می‌شود. میزان تخلخل پوشش‌های پاشش حرارتی به پارامترهای متعددی از جمله خواص فیزیکی و شیمیایی ماده اولیه پاشش حرارتی، مورفولوژی و توزیع اندازه پودر، سرعت ذرات در جريان پاشش حرارتی، میزان پهن شدگی اسپلت‌ها حين برخورد به

نسبت به اکسیدکروم است و این به خاطر وجود حجم زیادی از عیوب شبکه در فلزات است.

بررسی‌های فازی پودر کامپوزیتی نیز نشان می‌دهد که در هر سه نوع پودر تنها فازهای  $\text{Cr}_2\text{O}_3$  و  $\text{Ag}$  آشکار شده‌اند و می‌توان نتیجه گرفت حين فرایند آگلومراسیون فاز جدیدی تشکیل نشده و آلدگی (در حد دقت XRD) در پودر ایجاد نشده است. با افزایش درصد حجمی نقره در پودر کامپوزیتی شدت پیک‌های مربوط به نقره افزایش یافته‌اند. شدت نسبتاً زیاد پیک شاخص نقره (۱۱۱) در پودر ۱۰٪ حجمی نقره با توجه به دو برابر بودن چگالی نقره نسبت به اکسیدکروم قابل توجیه است. از این مباحث می‌توان نتیجه گرفت که پودر آگلومره تولیدی هم از ذرات نانومتری تشکیل شده و هم ذرات نانومتری آن دارای کریستالیت‌های نانومتری هستند همچنان که دارای مورفولوژی کاملاً کروی و توزیع یکسان فاز تقویت‌کننده در زمینه است؛ موارد ذکر شده منجر به یکنواختی نسبی پوشش پاشش حرارتی خواهد شد.

### ۳-۳- تخلخل پوشش در فرایند پاشش پلاسمایی

نمونه‌ای از پودر تولید شده در فرایند پاشش پلاسمایی مورد آزمایش قرار گرفت. شکل (۱۰-الف) دو نوع تخلخل موجود در پوشش  $N\text{-Cr}_2\text{O}_3$  را نشان می‌دهد. (شکل ۱۰-ب) نیز درصد تخلخل پوشش‌های مختلف را با استفاده از استاندارد ASTM E-2109 و تحلیل تصویری نشان می‌دهد. با توجه به تصویر (۱۰-ب)، درصد تخلخل پوشش‌های نانوساختار بیشتر از پوشش میکروساختار اکسیدکروم است. دلیل آن، وجود ذرات نیمه‌ذوب و ذوب‌نشده‌ی بیشتر در پوشش نانوساختار است که باعث می‌شود تعداد حفرات بین مناطق نیمه‌ذوب و مناطق کاملاً مذاب (مناطق A در تصویر ۱۰-الف) تخلخل‌هایی با مورفولوژی ناهمگون و اندازه میکرونی، بیشتر از پوشش‌های میکروساختار اکسیدکروم شود. منطق B (تخلخل‌هایی با مورفولوژی مسطح)، حفرات مسطح بین ساختارهای لایه‌ای هستند که به دلیل قرارگرفتن



شکل ۱۱- سطح مقطع پوشش‌های (الف)  $\text{M-Cr}_2\text{O}_3$  و (ب)  $\text{N-Cr}_2\text{O}_3$ .

جمع‌بندی کرد.

- ۱- حین آسیاب‌کاری مکانیکی پودر  $\text{Cr}_2\text{O}_3$ ، کاهش اندازه ذرات، کاهش اندازه کریستالیت و افزایش کرنش شبکه ذرات  $\text{Cr}_2\text{O}_3$  اتفاق می‌افتد.
- ۲- پودر کامپوزیتی آگلومره نانوساختار  $\text{Cr}_2\text{O}_3\text{-Ag}$  با توزیع مناسب نانوذرات نقره در زمینه اکسیدکروم را می‌توان با آگلومراسیون مخلوط آبی کامپوزیتی  $\text{Cr}_2\text{O}_3\text{-Ag}$  در دستگاه خشک‌کن پاششی تولید کرد.
- ۳- با افزایش سرعت اتمایزر به rpm ۱۷۰۰۰ و ثابت نگهداشتن دمای محفظه و نرخ هوای ورودی به محفظه خشک‌کن پاششی، نرخ نفوذ حلال به غشای خارجی ذره از نرخ تبخیر حلال بیشتر شده، پودر کاملاً کروی بدون منافذ میکروني تولید می‌شود.
- ۴- تخلخل پوشش‌های نانوساختار، به دلیل وجود ذرات

زیرلایه، مقدار ذرات کاملاً ذوب شده در جریان پاشش حرارتی، تنش‌های پسماند حرارتی و زبری زیرلایه یا آستری بستگی دارد [۱۹ و ۵].

شکل (۱۱) سطح مقطع پوشش‌های  $\text{M-Cr}_2\text{O}_3$  و  $\text{N-Cr}_2\text{O}_3$  را نشان می‌دهد؛ کمتر بودن ضخامت لایه‌ها<sup>۲۶</sup> (پهنهای اسپلت‌ها) در پوشش نانوساختار مشهود است. یکی از اثرات وجود نانوذرات در پودر اولیه، تاثیر بر رفتار رئولوژیکی اسپلت حین برخورد به سطح جسم است. وقتی نانوذرات در اسپلت وجود داشته باشند، میزان پهن شدن اسپلت روی سطح قبلی بیشتر می‌شود<sup>[۲۰]</sup> و این امر موجب کاهش ضخامت لایه‌ها در پوشش نانوساختار خواهد شد<sup>[۲۱]</sup>.

#### ۴- نتیجه‌گیری

نتایج حاصل از این تحقیق را می‌توان به صورت زیر

۵- به دلیل رفتار رئولوژیکی بهتر اسپلت‌های نانوساختار حین برخورد به سطح، ضخامت لایه‌ها در پوشش نانوساختار کمتر از پوشش معمولی است.

نیمه‌ذوب و ذوب‌نشده (مناطق نانوساختار) بیشتر در پوشش‌های نانوساختار بیشتر از پوشش معمولی اکسیدکروم است.

## واژه‌نامه

1. adhesion strength	12. sinter-crush	20. Williamson-Hall
2. substrate	13. poly vinyl alcohol	21. gaussian
3. blended feedstock	14. centrifugal disk atomizer	22. sigmaplot 10
4. spray drying	15. bond coat	23. thermal barrier coatings
5. Hall-Petch	16. dynamic laser scattering (DLS)	24. field emission scanning electron microscopy (FESEM)
6. Chwa	17. scanning electron microscopy (SEM)	25. feeder
7. Lin	18. energy disperse spectroscopy (EDS)	26. lamella
8. yttria stabilized zirconia	19. X-ray diffraction (XRD)	
9. Ahn		
10. splat		
11. interlamellar strength		

## مراجع

- Bolelli, G., Cannillo, V., Lusvarghi, L., and Manfredini, T., "Wear Behavior of Thermally Sprayed Ceramic Oxide Coatings," *Wear*, Vol. 261, pp. 1298–1315, 2006.
- Davis, J.R., *Surface Engineering for Corrosion and Wear Resistance*, ASM International, 2001.
- Aouadi, S.M., Luster, B., Kohli, B., Muratore, C., and Voevodin, A.A., "Progress in the Development of Adaptive Nitride-Based Coatings for High Temperature Tribological Applications," *Surface and Coatings Technology*, Vol. 204, pp. 962-968, 2009.
- Donnet, C., and Erdemir, A., "Historical Development and New Trends in Tribological and Solid Lubricant Coatings," *Surface and Coatings Technology*, Vol. 180/181, pp. 76-84, 2004.
- Pawlowski, L., *The Science and Engineering of Thermal Spray Coatings*, Second edition, Wiley, 2007.
- Lu, Y., and Liaw, P.K., "The Mechanical Properties of Nanostructured Materials," *Journal of Metals*, Vol. 53, pp. 31-35, 2001.
- Cavaleiro, A., and De Hosson, J.M., *Nanostructured Coatings*, Springer, 2006.
- Lima, R.S., and Marple, B.R., "Thermal Spray Coatings Engineered from Nanostructured Ceramic Agglomerated Powders for Structural, Thermal Barrier and Biomedical Applications: A Review," *Journal of Thermal Spray Technology*, Vol. 16, pp. 40-63, 2007.
- Ahn, J., Hwang, B., Song, E.P., Lee, S., and Kim, N.J., "Correlation of Microstructure and Wear Resistance of Al2O3-TiO2 Coatings Plasma Sprayed with Nanopowders," *Matallurgical Materials Transaction A*, Vol. 37, pp. 1851-1861, 2006.
- Chwa, S.O., Klein, D., Toma, F.L., Bertrand, G., Liao, H., Coddet, C., and Ohmori, A., "Microstructure and Mechanical Properties of Plasma Sprayed Nanostructured TiO2-Al Composite Coatings," *Surface and Coatings Technology*, Vol. 194, pp. 215-224, 2005.
- Lin, X., Zeng, Y., Lee, S.W., and Ding, C., "Characterization of Alumina-3wt. %Titania Coating Prepared by Plasma Spraying of Nanostructured Powders," *Journal of the European Ceramic Society*, Vol. 24, pp. 627-634, 2004.
- Tao, S., Liang, B., Ding, C., Lao, H., and Coddet, C., "Wear Characteristics of Plasma-Sprayed Nanostructured YttriaStabilized Zirconia Coatings," *Journal of Thermal Spray Technology*, Vol. 14, pp. 518-523, 2005.
- Cao, Q., Vessen, R., Schwarz, S., Jungen, W., Tietz, F., and Stoever, D., "Spray-Drying of Ceramics for Plasma-Spray Coating," *Journal of the European Ceramic Society*, Vol. 20, pp. 2433-2439, 2000.
- Heimann, R.B., "Plasma Spray Coating Principles and Applications," Second edition, Wiley-VCH-Verlag, 2008.
- Suryanarayana, C., "Mechanical Alloying and Milling," *Progress in Material Science*, Vol. 46, pp. 1-184, 2001.
- Nandiyanto, A.B.D., and Okuyama, K., "Progress in Developing Spray-Drying Methods for the

- Production of Controlled Morphology Particles: From the Nanometer to SubmicrometerSize Ranges,” *Advanced Powder Technology*, Vol. 22, pp. 1-19, 2011.
17. Cellard, A., Zenati, R., Garnier, V., Fantozzi, G., and Baret, G., “Optimization of Chromium Oxide Nanopowders Dispersion for Spray-Drying,” *Journal of the European Ceramic Society*, Vol. 27, pp. 1021-1027, 2007.
18. Delogu, F., and Cocco, G., “Microstructural Refinement of Ceramic Powders under Mechanical Processing Conditions,” *Journal of Alloys and Compounds*, Vol. 420, pp. 246-250, 2006.
19. Takadoum, J., *Materials and Surface Engineering in Tribology*, Wiley, 2008.
20. Cellard, A., Garnier, V., Fantozzi, G., Baret, G., and Fort, P., “Wear Resistance of Chromium Oxide Nanostructured Coatings,” *Ceramics International*, Vol. 35, pp. 913-916, 2009.
۲۱. صدری، ا، اشرفی زاده، ف، رمضانی، م، ”خواص اصطکاکی پوشش نانوساختار اکسید کروم بر زیرلایه فولادی به روش پاشش پلاسمایی”， سمپوزیوم فولاد، ۹۰، ص ۶۲۰-۶۱۱. ۱۳۹۰.

Archive of SID